

# 高精度、超低ノイズ、RRIO、 ゼロ・ドリフト・オペアンプ

ADA4528-1

### 特長

低オフセット: 最大 2.5 µV 低オフセット電圧ドリフト: 最大 0.015 µV/°C 低ノイズ

f = 1 kHz、 $A_V$  = +100 で 5.6 nV/ $\sqrt{Hz}$  $f = 0.1 \text{ Hz} \sim 10 \text{ Hz}$ 、 $A_V = +100$  で 97 nV p-p オープン・ループ電圧ゲイン: 最小 130 dB

CMRR: 最小 135 dB PSRR: 最小 130 dB ゲイン帯域幅積: 4 MHz 単電源動作: 2.2 V~5.5 V 両電源動作: ±1.1 V~±2.75 V レール to レールの入力および出力 ユニティ・ゲイン安定

### アプリケーション

熱電対/サーモパイル ロードセルおよびブリッジ・トランスジューサ 高精度計装 重量計 医療計測機器 ポータブル・テスト機器

### 概要

ADA4528-1 は、レール to レールの入力振幅と出力振幅を持つ超 低ノイズのゼロ・ドリフト・オペアンプです。ADA4528-1 は、 2.5 μV のオフセット電圧、0.015 μV/℃ のオフセット電圧ドリフ ト、97 nV p-p (0.1 Hz $\sim$ 10 Hz、 $A_V = +100$ )のノイズを持つため、 誤差ソースを許容できないアプリケーションに最適です。

ADA4528-1 は、2.2 V~5.5 V の広い動作電源範囲、高いゲイン、 優れた CMRR および PSRR 仕様を持つため、位置センサー、圧 力センサー、ストレーン・ゲージ、医用計装機器などの低レベ ル信号の高精度増幅に最適です。

ADA4528-1 の仕様は-40°C~+125°C の拡張工業用温度範囲で規 定され、8ピン MSOP パッケージを採用しています。

### ピン配置

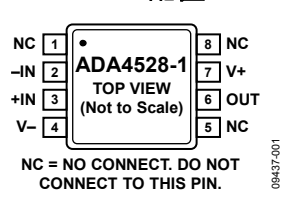


図 1.8 ピン MSOP

表 1.アナログ・デバイスのゼロ・ドリフト・オペアンプの一覧<sup>1</sup>

Туре	Ultralow Noise	Micropower (<20 μA)	Low Power (<1 mA)	16 V Operating Voltage
Single	ADA4528-1	ADA4051-1	AD8628	AD8638
			AD8538	
Dual		ADA4051-2	AD8629	AD8639
			AD8539	
Quad			AD8630	

<sup>1</sup>ゼロ・ドリフト・オペアンプの選択については http://www.analog.com/en/index.html を参照してください。

アナログ・デバイセズ社は、提供する情報が正確で信頼できるものであることを期していますが、その情報の利用に関して、あるいは利用によって生じる第三者の特許やその他の権利の侵害に関して一切の責任を負いません。また、アナログ・デバイセズ社の特許または特許の権利の使用を明示的または暗示的に許諾するものでもありません。仕様は、予告なく変更される場合があります。本紙記載の商標および登録商標は、各社の所有に属します。 - トは REVISION が古い場合があります。最新の内容については、英語版をご参照ください。 ※日本語データシ ©2011 Analog Devices, Inc. All rights reserved.

Rev. 0

# 目次

符長	l
アプリケーション	1
ピン配置	
概要	
改訂履歴	
仕様	
電気的特性—2.5 V動作	
電気的特性—5 V動作	
絶対最大定格	
教抵抗	

ESDの注意	5
代表的な性能特性	6
アプリケーション情報	15
入力保護	15
レールtoレールの入力と出力	15
ノイズに対する注意事項	15
プリント回路ボードのレイアウト	17
外形寸法	18
オーダー・ガイド	18

### 改訂履歴

1/11—Revision 0: Initial Version

## 仕様

### 電気的特性—2.5 V動作

特に指定がない限り、 $V_S=2.5~V$ 、 $V_{CM}=V_{SY}/2~V$ 、 $T_A=25^{\circ}C$ 。

表 2.

Parameter	Symbol	Test Conditions/Comments	Min	Typ	Max	Unit
INPUT CHARACTERISTICS						
Offset Voltage	$V_{OS}$	$V_{CM} = 0 \text{ V to } 2.5 \text{ V}$		0.3	2.5	μV
		$-40^{\circ}\text{C} \le \text{T}_{\text{A}} \le +125^{\circ}\text{C}$			4	μV
Offset Voltage Drift	$\Delta V_{OS}/\Delta T$	$-40^{\circ}\text{C} \le \text{T}_{\text{A}} \le +125^{\circ}\text{C}$		0.002	0.015	μV/°C
Input Bias Current	$I_B$			220	400	pA
		$-40^{\circ}\text{C} \le \text{T}_{\text{A}} \le +125^{\circ}\text{C}$			600	pA
Input Offset Current	$I_{OS}$			440	800	pA
		$-40^{\circ}\text{C} \le \text{T}_{\text{A}} \le +125^{\circ}\text{C}$			1	nA
Input Voltage Range			0		2.5	V
Common-Mode Rejection Ratio	CMRR	$V_{CM} = 0 \text{ V to } 2.5 \text{ V}$	135	158		dB
		$-40^{\circ}\text{C} \le \text{T}_{\text{A}} \le +125^{\circ}\text{C}$	116			dB
Open-Loop Gain	$A_{ m VO}$	$R_L = 10 \text{ k}\Omega, V_O = 0.1 \text{ V to } 2.4 \text{ V}$	130	140		dB
		$-40^{\circ}\text{C} \le \text{T}_{\text{A}} \le +125^{\circ}\text{C}$	126			dB
		$R_L = 2 \text{ k}\Omega$ , $V_O = 0.1 \text{ V to } 2.4 \text{ V}$	125	132		dB
		$-40^{\circ}\text{C} \le \text{T}_{\text{A}} \le +125^{\circ}\text{C}$	121			dB
Input Resistance, Differential Mode	$R_{INDM}$			225		kΩ
Input Resistance, Common Mode	R <sub>INCM</sub>			1		GΩ
Input Capacitance, Differential Mode	$C_{INDM}$			15		pF
Input Capacitance, Common Mode	$C_{INCM}$			30		pF
OUTPUT CHARACTERISTICS						
Output Voltage High	$V_{\mathrm{OH}}$	$R_L = 10 \text{ k}\Omega \text{ to } V_{CM}$	2.49	2.495		V
		$-40^{\circ}\text{C} \le \text{T}_{\text{A}} \le +125^{\circ}\text{C}$	2.485			V
		$R_L = 2 \text{ k}\Omega \text{ to } V_{CM}$	2.46	2.48		V
		$-40^{\circ}\text{C} \le \text{T}_{\text{A}} \le +125^{\circ}\text{C}$	2.44			V
Output Voltage Low	$V_{\mathrm{OL}}$	$R_L = 10 \text{ k}\Omega \text{ to } V_{CM}$		5	10	mV
		$-40$ °C $\leq$ T <sub>A</sub> $\leq$ $+125$ °C			15	mV
		$R_L = 2 \text{ k}\Omega \text{ to } V_{CM}$		20	40	mV
		$-40$ °C $\leq$ T <sub>A</sub> $\leq$ $+125$ °C			60	mV
Short-Circuit Current	$I_{SC}$			±30		mA
Closed-Loop Output Impedance	$Z_{OUT}$	$f = 1 \text{ kHz}, A_V = +10$		0.1		Ω
POWER SUPPLY						
Power Supply Rejection Ratio	PSRR	$V_S = 2.2 \text{ V to } 5.5 \text{ V}$	130	150		dB
		$-40$ °C $\leq$ T <sub>A</sub> $\leq$ $+125$ °C	127			dB
Supply Current/Amplifier	$I_{SY}$	$I_O = 0 \text{ mA}$		1.4	1.7	mA
		$-40$ °C $\leq$ T <sub>A</sub> $\leq$ $+125$ °C			2.1	mA
DYNAMIC PERFORMANCE						
Slew Rate	SR	$R_L = 10 \text{ k}\Omega, C_L = 100 \text{ pF}, A_V = +1$		0.45		V/µs
Settling Time to 0.1%	$t_s$	$V_{IN} = 1.5 \text{ V step}, R_L = 10 \text{ k}\Omega, C_L = 100 \text{ pF}$		7		μs
Gain Bandwidth Product	GBP	$R_L = 10 \text{ k}\Omega, C_L = 100 \text{ pF}, A_V = +1$		4		MHz
Phase Margin	$\Phi_{ m M}$	$R_L = 10 \text{ k}\Omega, C_L = 100 \text{ pF}, A_V = +1$		57		Degree
Overload Recovery Time		$R_L = 10 \text{ k}\Omega, C_L = 100 \text{ pF}, A_V = -10$		50		μs
NOISE PERFORMANCE						1
Voltage Noise	e <sub>n</sub> p-p	$f = 0.1 \text{ Hz to } 10 \text{ Hz}, A_V = +100$		97		nV p-p
Voltage Noise Density	e <sub>n</sub>	$f = 1 \text{ kHz}, A_V = +100$		5.6		nV/√H
	-	$f = 1 \text{ kHz}, A_V = +100, V_{CM} = 2.0 \text{ V}$		5.5		nV/√H
Current Noise	i <sub>n</sub> p-p	$f = 0.1 \text{ Hz to } 10 \text{ Hz}, A_V = +100$		2.6		pA p-p
Current Noise Density	in	$f = 1 \text{ kHz}, A_V = +100$		0.7		pA/√H

Rev. 0 - 3/18 -

### 電気的特性—5 V動作

特に指定がない限り、 $V_S=5~V$ 、 $V_{CM}=V_{SY}/2~V$ 、 $T_A=+25$ °C。

表 3.

Parameter	Symbol	Test Conditions/Comments	Min	Тур	Max	Unit
INPUT CHARACTERISTICS						
Offset Voltage	$V_{os}$	$V_{CM} = 0 \text{ V to 5 V}$		0.3	2.5	$\mu V$
		$-40^{\circ}\text{C} \le \text{T}_{\text{A}} \le +125^{\circ}\text{C}$			4	$\mu V$
Offset Voltage Drift	$\Delta V_{\rm OS}/\Delta T$	$-40^{\circ}\text{C} \le \text{T}_{\text{A}} \le +125^{\circ}\text{C}$		0.002	0.015	μV/°C
Input Bias Current	$I_B$			90	200	pA
		$-40$ °C $\leq$ T <sub>A</sub> $\leq$ $+125$ °C			300	pA
Input Offset Current	$I_{OS}$			180	400	pA
		$-40$ °C $\leq$ T <sub>A</sub> $\leq$ $+125$ °C			500	pA
Input Voltage Range			0		5	V
Common-Mode Rejection Ratio	CMRR	$V_{CM} = 0 V \text{ to } 5 V$	137	160		dB
		$-40^{\circ}\text{C} \le \text{T}_{\text{A}} \le +125^{\circ}\text{C}$	122			dB
Open-Loop Gain	$A_{VO}$	$R_L = 10 \text{ k}\Omega$ , $V_O = 0.1 \text{ V to } 4.9 \text{ V}$	127	139		dB
		$-40^{\circ}\text{C} \le \text{T}_{\text{A}} \le +125^{\circ}\text{C}$	125			dB
		$R_L = 2 \text{ k}\Omega$ , $V_O = 0.1 \text{ V to } 4.9 \text{ V}$	121	131		dB
		$-40^{\circ}\text{C} \le \text{T}_{\text{A}} \le +125^{\circ}\text{C}$	120			dB
Input Resistance, Differential Mode	$R_{INDM}$			190		kΩ
Input Resistance, Common Mode	R <sub>INCM</sub>			1		GΩ
Input Capacitance, Differential Mode	C <sub>INDM</sub>			16.5		pF
Input Capacitance, Common Mode	C <sub>INCM</sub>			33		pF
OUTPUT CHARACTERISTICS	- Interna					r
Output Voltage High	$V_{\mathrm{OH}}$	$R_L = 10 \text{ k}\Omega \text{ to } V_{CM}$	4.99	4.995		v
5 mp 11 5 5 1 1 2 1 1 2 1 1 2 1 1 2 1 1 2 1 1 1 1	· On	$-40^{\circ}\text{C} \le \text{T}_{A} \le +125^{\circ}\text{C}$	4.98			v
		$R_L = 2 k\Omega$ to $V_{CM}$	4.96	4.98		V
		$-40^{\circ}\text{C} \le \text{T}_{A} \le +125^{\circ}\text{C}$	4.94			v
Output Voltage Low	$V_{ m OL}$	$R_L = 10 \text{ k}\Omega \text{ to } V_{CM}$	,	5	10	mV
e anglar i e angle = e ii	· OL	$-40^{\circ}\text{C} \le \text{T}_{A} \le +125^{\circ}\text{C}$			20	mV
		$R_L = 2 k\Omega \text{ to } V_{CM}$		20	40	mV
		$-40^{\circ}\text{C} \le \text{T}_{\text{A}} \le +125^{\circ}\text{C}$			60	mV
Short-Circuit Current	$I_{SC}$	40 C \(\frac{1}{2}\) \(\frac{1}{2}\) \(\frac{1}{2}\)		±40	00	mA
Closed-Loop Output Impedance		$f = 1 \text{ kHz}, A_V = +10$		0.1		Ω
POWER SUPPLY	Z <sub>OUT</sub>	1 - 1 KHZ, AV - +10		0.1		5.2
Power Supply Rejection Ratio	PSRR	$V_{SY} = 2.2 \text{ V to } 5.5 \text{ V}$	130	150		dB
rower supply Rejection Ratio	FSKK	$V_{SY} = 2.2 \text{ V to } 3.3 \text{ V}$ $-40^{\circ}\text{C} \le \text{T}_{A} \le +125^{\circ}\text{C}$		130		
Samuela Communat America	т.		127	1.5	1.0	dB
Supply Current/Amplifier	$I_{SY}$	$I_0 = 0 \text{ mA}$		1.5	1.8	mA
DVALANIC PEDEODMANICE		$-40^{\circ}\text{C} \le \text{T}_{\text{A}} \le +125^{\circ}\text{C}$			2.2	mA
DYNAMIC PERFORMANCE	G.D.	B 1010 C 100 F 4		0.5		**/
Slew Rate	SR	$R_L = 10 \text{ k}\Omega, C_L = 100 \text{ pF}, A_V = +1$		0.5		V/µs
Settling Time to 0.1% Gain Bandwidth Product	t <sub>s</sub>	$V_{IN} = 4 \text{ V step}, R_L = 10 \text{ k}\Omega, C_L = 100 \text{ pF}$		10		μs
	GBP	$R_L = 10 \text{ k}\Omega, C_L = 100 \text{ pF}, A_V = +1$		4		MHz
Phase Margin	$\Phi_{\mathrm{M}}$	$R_L = 10 \text{ k}\Omega, C_L = 100 \text{ pF}, A_V = +1$		57		Degree
Overload Recovery Time		$R_L = 10 \text{ k}\Omega, C_L = 100 \text{ pF}, A_V = -10$		50		μs
NOISE PERFORMANCE						
Voltage Noise	e <sub>n</sub> p-p	$f = 0.1 \text{ Hz to } 10 \text{ Hz}, A_V = +100$		99		nV p-p
Voltage Noise Density	$e_n$	$f = 1 \text{ kHz}, A_V = +100$		5.9		nV/√Hz
		$f = 1 \text{ kHz}, A_V = +100, V_{CM} = 4.5 \text{ V}$		5.3		nV/√Hz
Current Noise	i <sub>n</sub> p-p	$f = 0.1 \text{ Hz to } 10 \text{ Hz}, A_V = +100$		2.6		pA p-p
Current Noise Density	i <sub>n</sub>	$f = 1 \text{ kHz}, A_V = +100$		0.5		pA/√H2

Rev. 0 - 4/18 -

### 絶対最大定格

#### 表 4.

Parameter	Rating		
Supply Voltage	6 V		
Input Voltage	$\pm V_{SY} \pm 0.3 \text{ V}$		
Input Current <sup>1</sup>	±10 mA		
Differential Input Voltage	$\pm V_{SY}$		
Output Short-Circuit Duration to GND	Indefinite		
Storage Temperature Range	−65°C to +150°C		
Operating Temperature Range	-40°C to +125°C		
Junction Temperature Range	−65°C to +150°C		
Lead Temperature (Soldering, 60 sec)	300°C		

<sup>&</sup>lt;sup>1</sup>入力ピンには、電源ピンへのクランプ・ダイオードが付いています。入力信号が電源レールを 0.5 V以上超えるときは、入力電流を 10 mA 以下に制限する必要があります。

上記の絶対最大定格を超えるストレスを加えるとデバイスに恒 久的な損傷を与えることがあります。この規定はストレス定格 の規定のみを目的とするものであり、この仕様の動作のセクションに記載する規定値以上でのデバイス動作を定めたものでは ありません。デバイスを長時間絶対最大定格状態に置くとデバイスの信頼性に影響を与えます。

### 熱抵抗

 $\theta_{JA}$  はワーストケース条件で規定。すなわち表面実装パッケージの場合、デバイスを回路ボードにハンダ付けした状態で規定。標準の4層ボードを使用して測定。

#### 表 5.熱抵抗

Package Type	$\theta_{\mathrm{JA}}$	$\theta_{ m JC}$	Unit
8-Lead MSOP (RM-8)	142	45	°C/W

### ESDの注意



ESD (静電放電) の影響を受けやすいデバイスです。電荷を帯びたデバイスや回路ボードは、検知されないまま放電することがあります。本製品は当社独自の特許技術である ESD 保護回路を内蔵してはいますが、デバイスが高エネルギーの静電放電を被った場合、損傷を生じる可能性があります。したがって、性能劣化や機能低下を防止するため、ESD に対する適切な予防措置を講じることをお勧めします。

Rev. 0 - 5/18 -

# 代表的な性能特性

特に指定のない限り、TA=25°C。

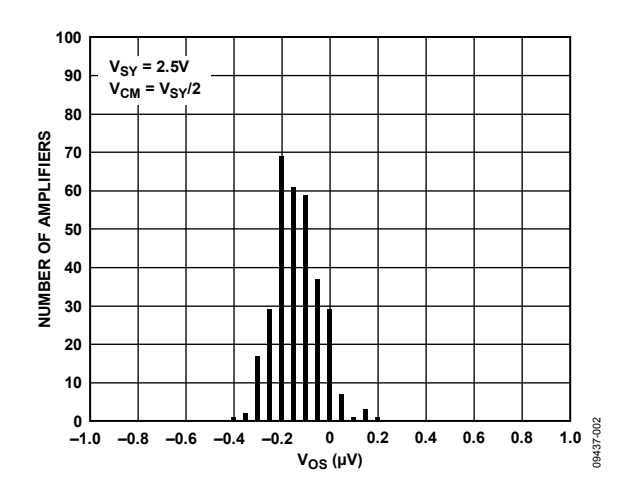


図 2.入力オフセット電圧の分布

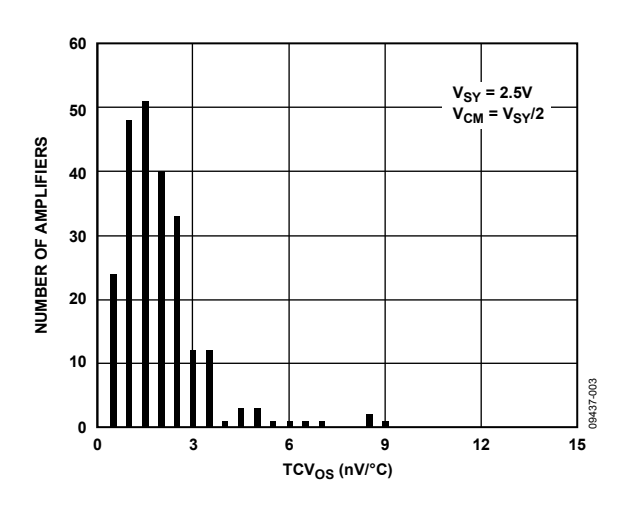


図 3.入力オフセット電圧ドリフトの分布

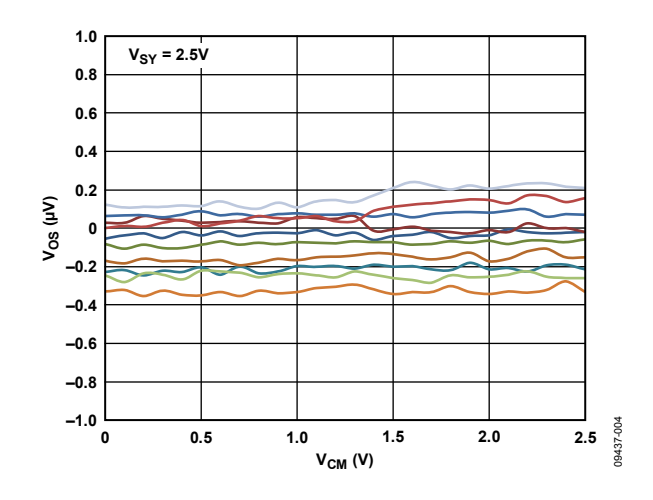


図 4.同相モード電圧対入力オフセット電圧

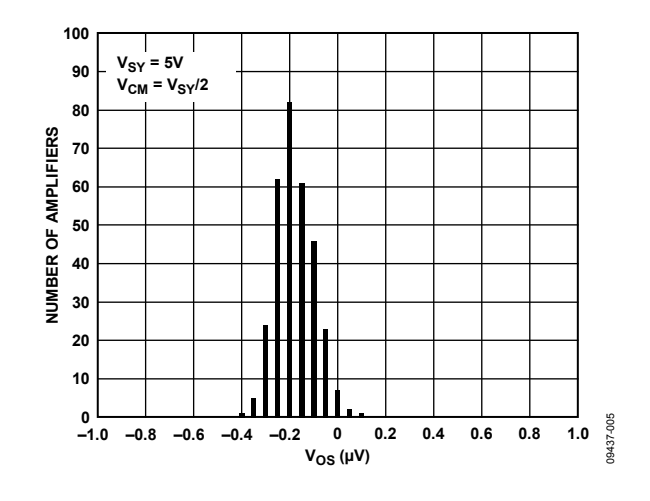


図 5.入力オフセット電圧の分布

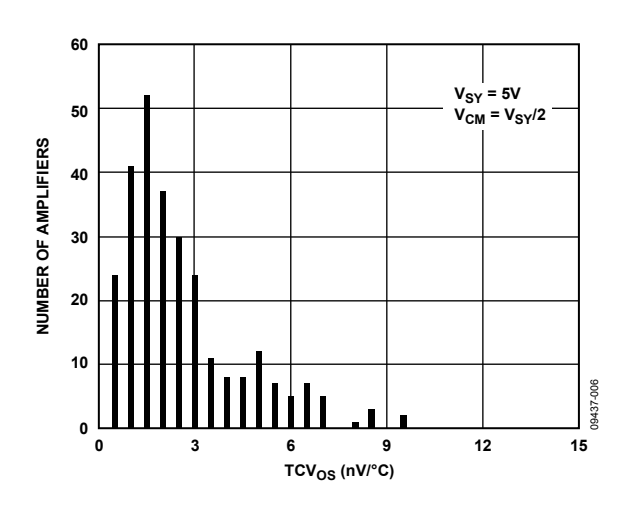


図 6.入力オフセット電圧ドリフトの分布

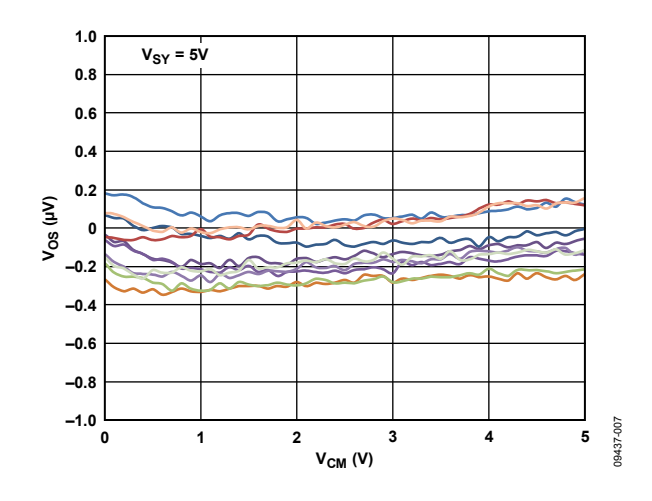


図 7.同相モード電圧対入力オフセット電圧

Rev. 0 — 6/18 —

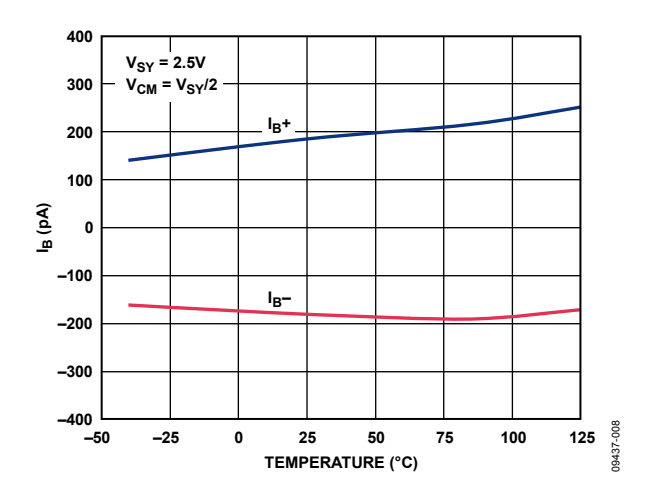


図 8.入力バイアス電流の温度特性

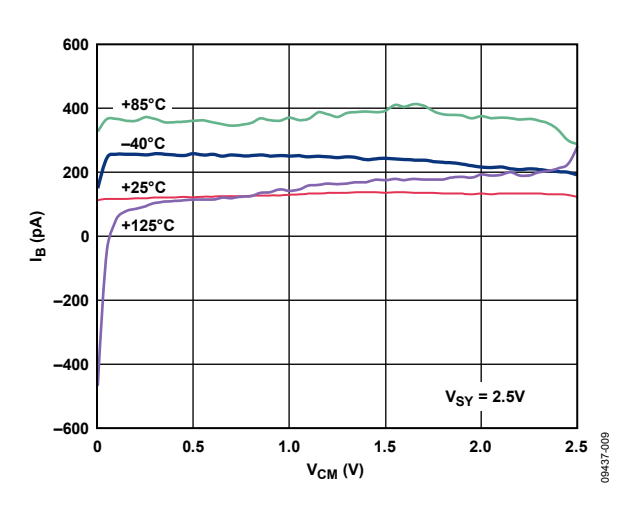


図 9.同相モード電圧対入力バイアス電流

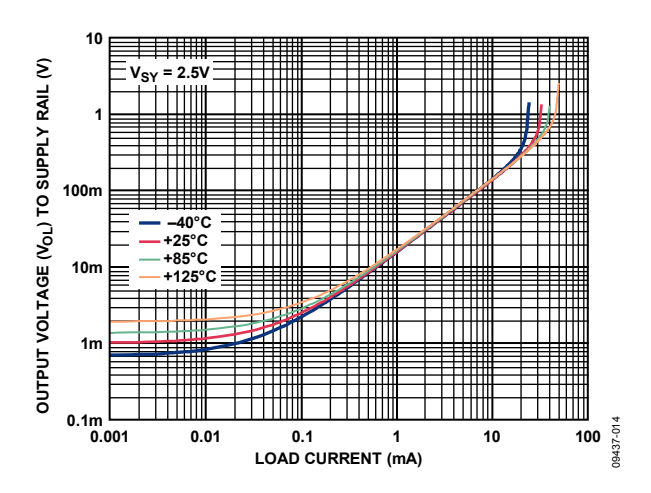


図 10.負荷電流対電源レールまで近付く出力電圧(VoL)

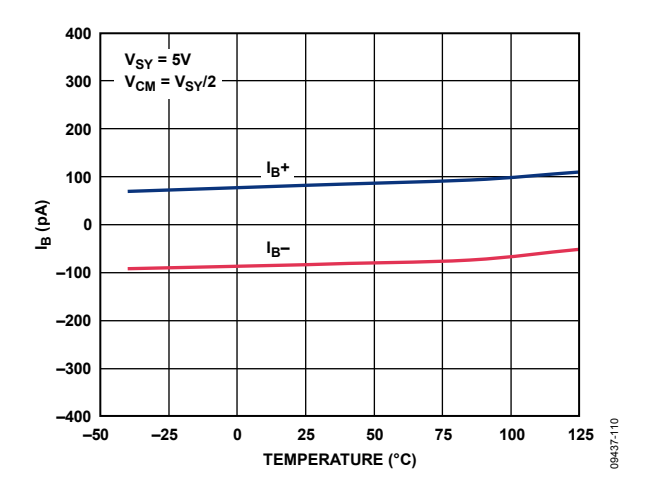


図 11.入力バイアス電流の温度特性

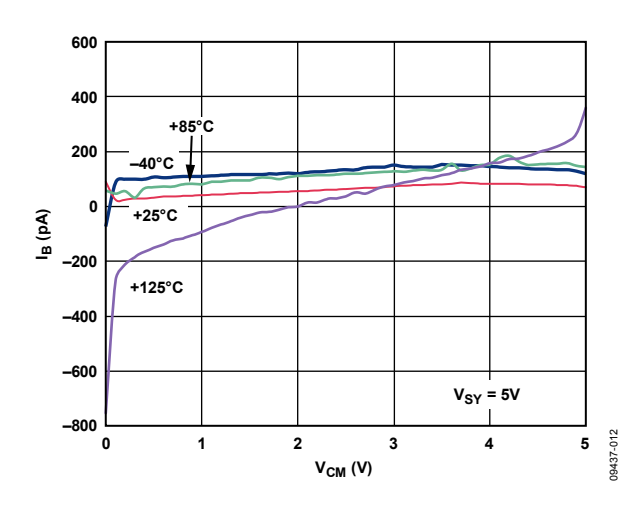


図 12.同相モード電圧対入力バイアス電流

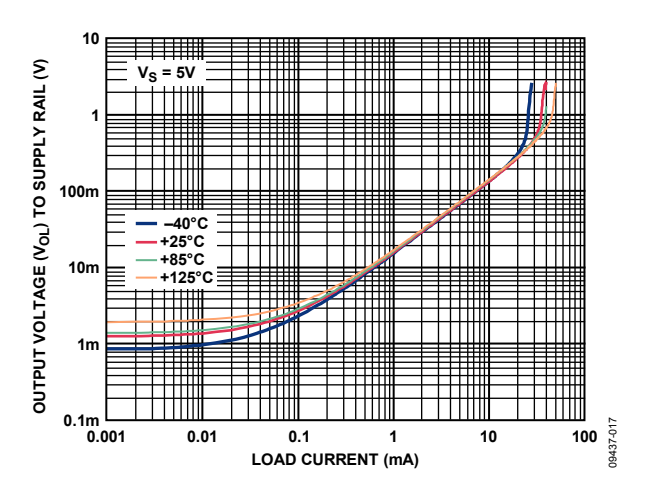


図 13.負荷電流対電源レールまで近付く出力電圧(VoL)

Rev. 0 - 7/18 -

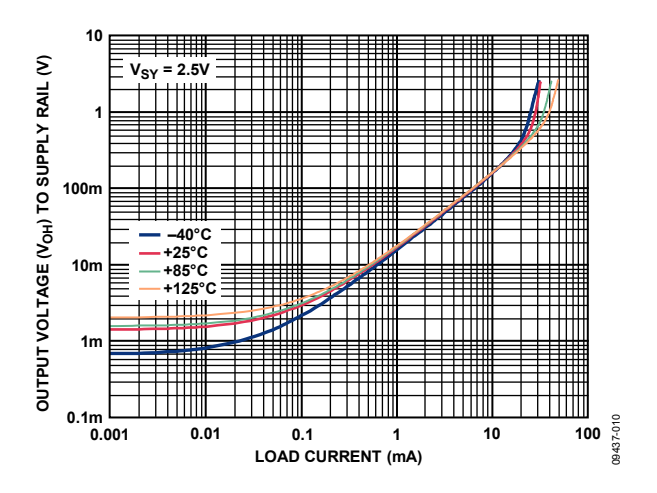


図 14.負荷電流対電源レールまで近付く出力電圧(V<sub>OH</sub>)

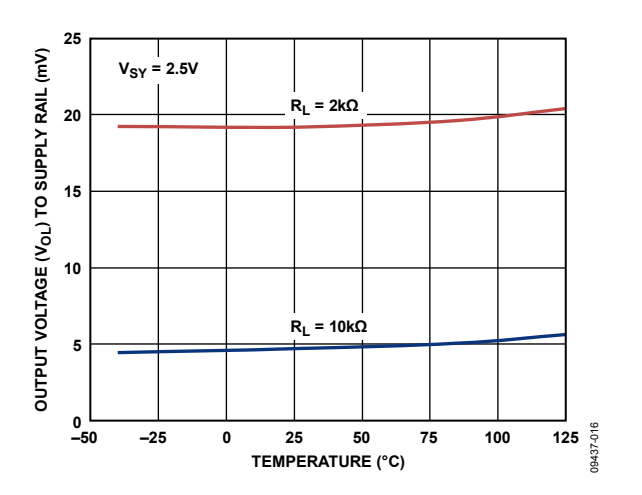


図 15.出力電圧(V<sub>OL</sub>) /電源レール比の温度特性

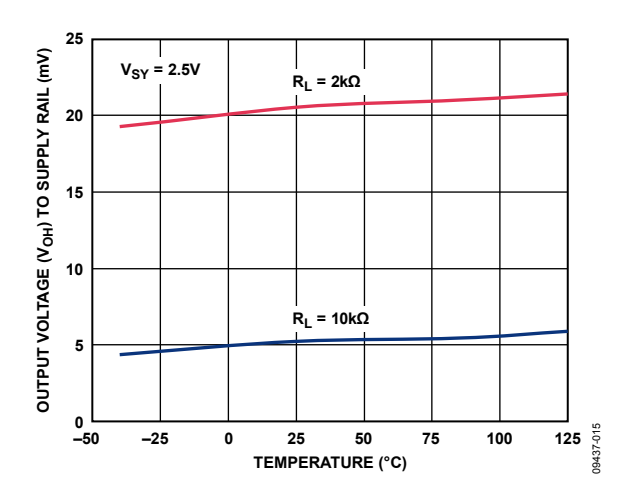


図 16.出力電圧(V<sub>OH</sub>) /電源レール比の温度特性

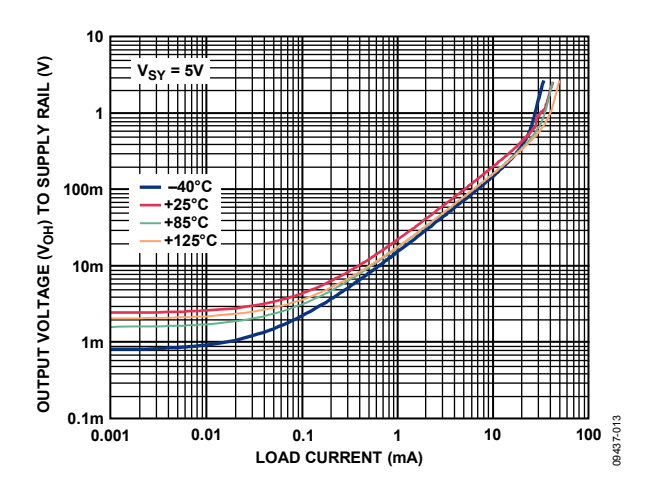


図 17.負荷電流対電源レールまで近付く出力電圧(V<sub>OH</sub>)

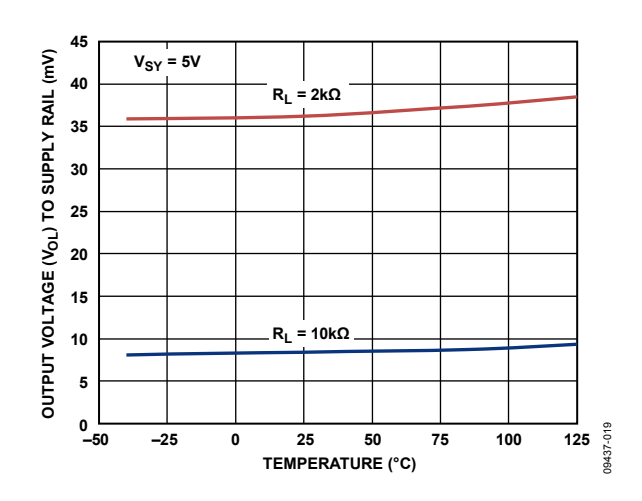


図 18.出力電圧(V<sub>OL</sub>) /電源レール比の温度特性

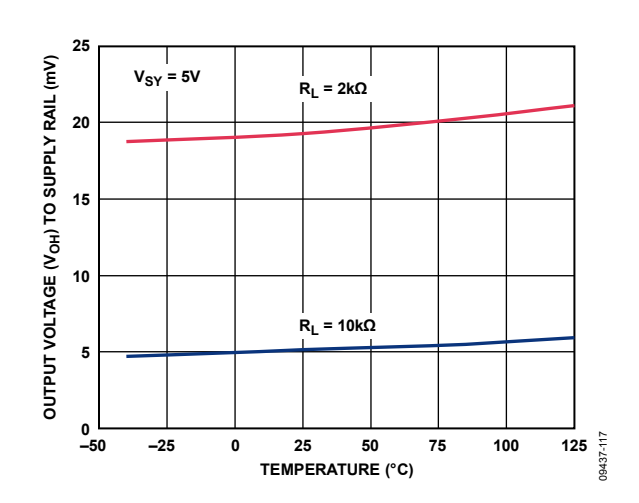


図 19.出力電圧(V<sub>OH</sub>) /電源レール比の温度特性

Rev. 0

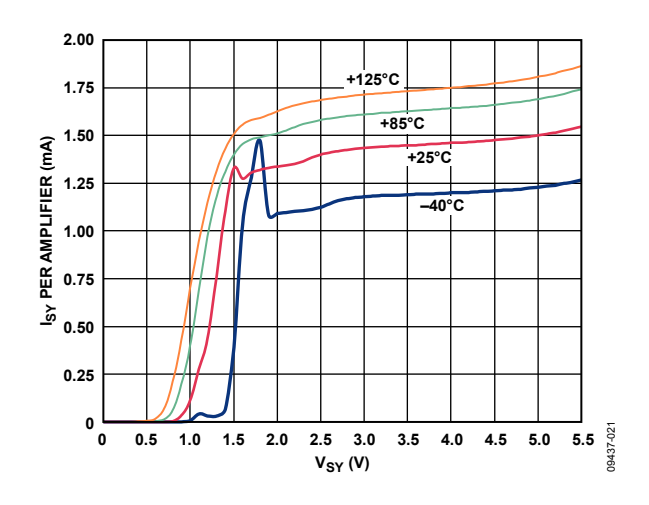


図 20.電源電圧対電源電流

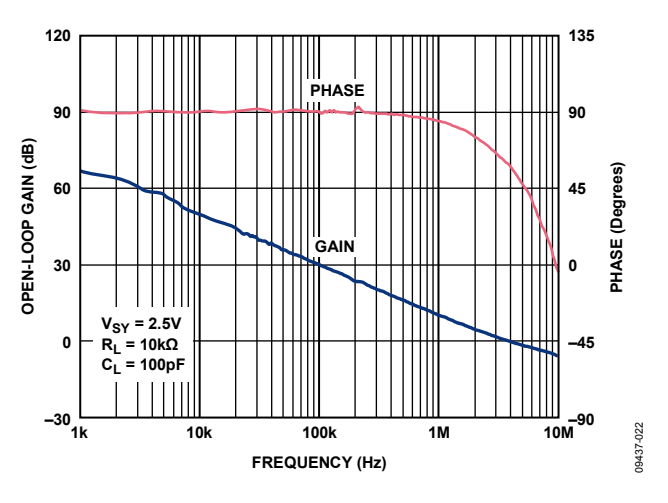


図 21.オープン・ループ・ゲインおよび位相の周波数特性

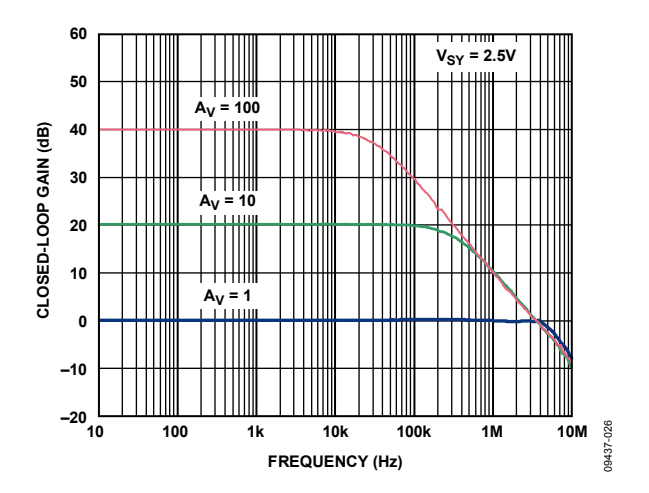


図 22.クローズド・ループ・ゲインの周波数特性

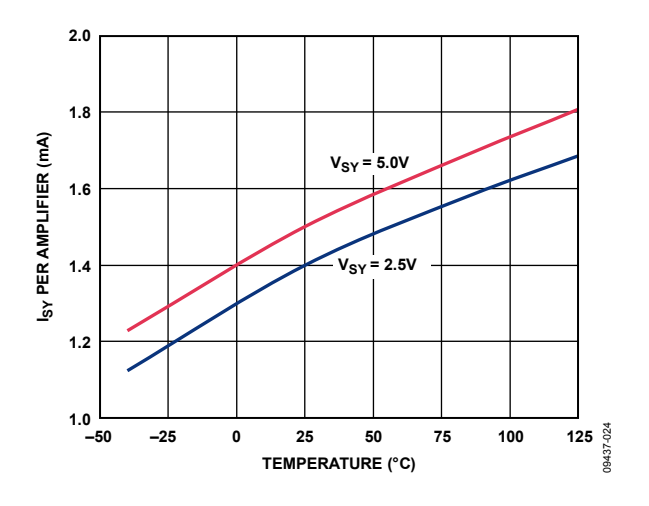


図 23.電源電流の温度特性

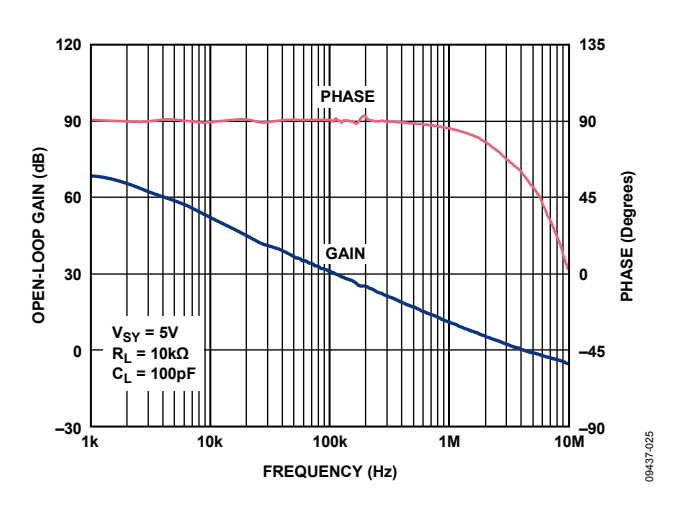


図 24.オープン・ループ・ゲインおよび位相の周波数特性

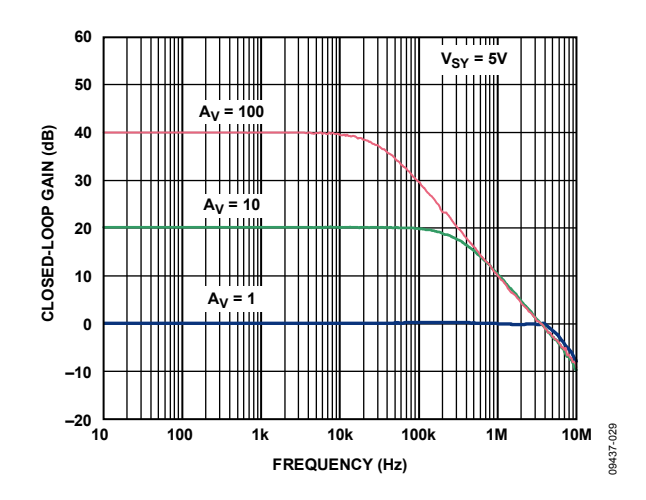


図 25.クローズド・ループ・ゲインの周波数特性

Rev. 0 - 9/18 -

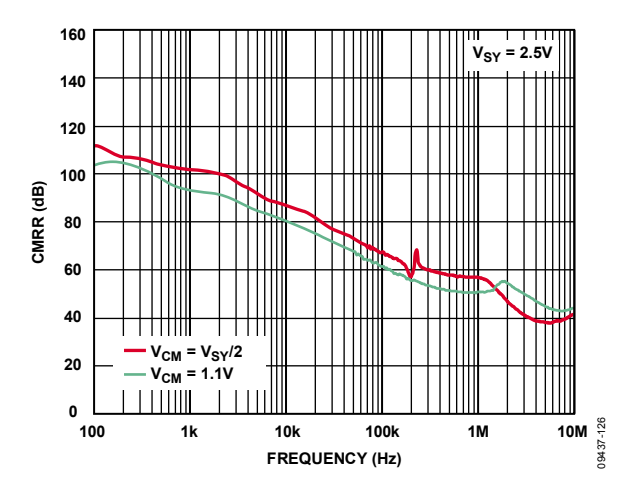


図 26.CMRR の周波数特性

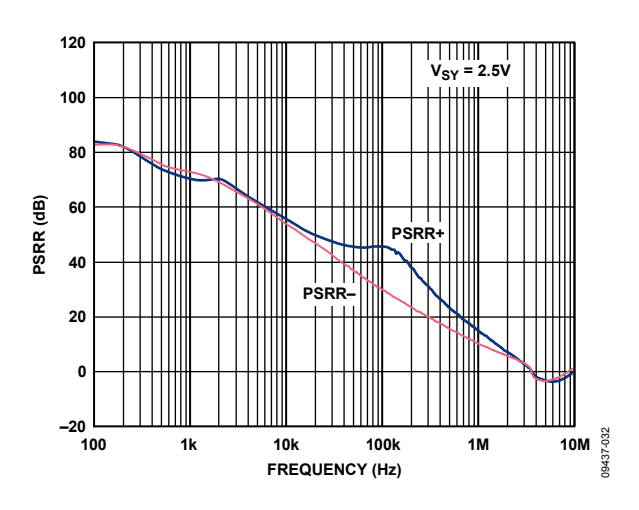


図 27.PSRR の周波数特性

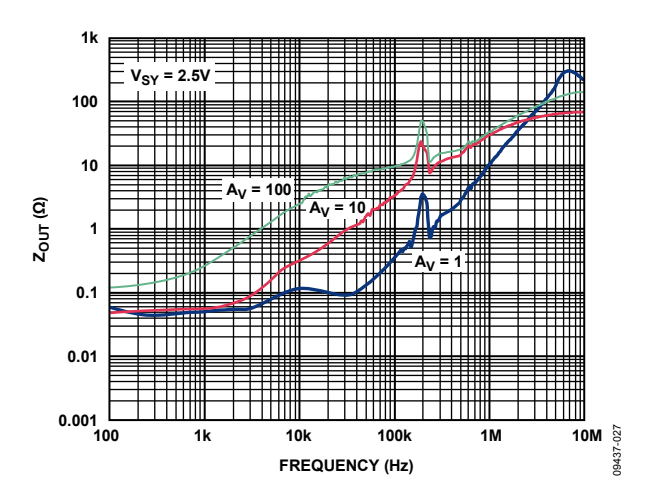


図 28.出力インピーダンスの周波数特性

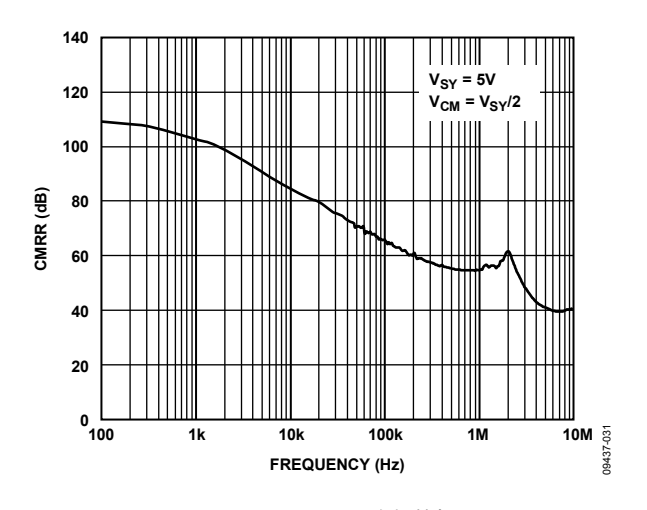


図 29.CMRR の周波数特性

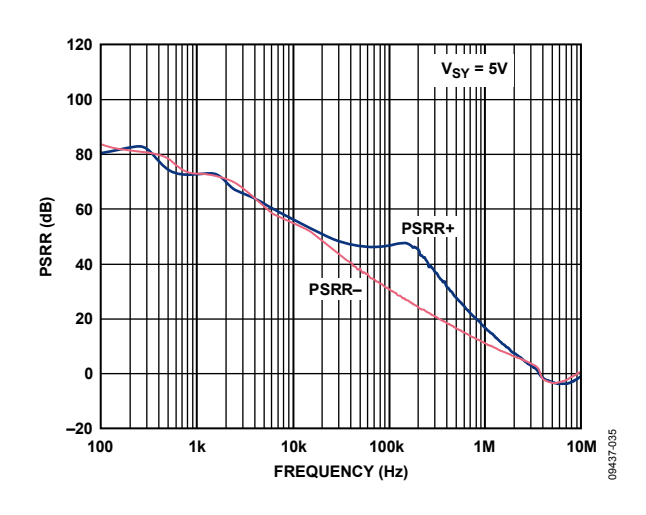


図 30.PSRR の周波数特性

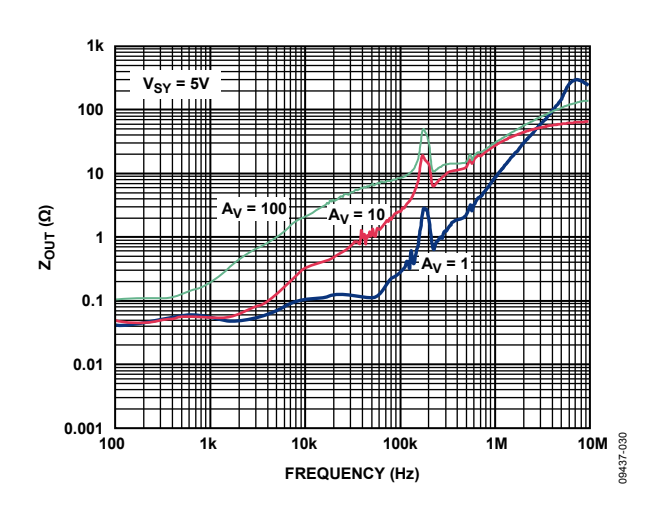


図 31.出力インピーダンスの周波数特性

Rev. 0 — 10/18 —

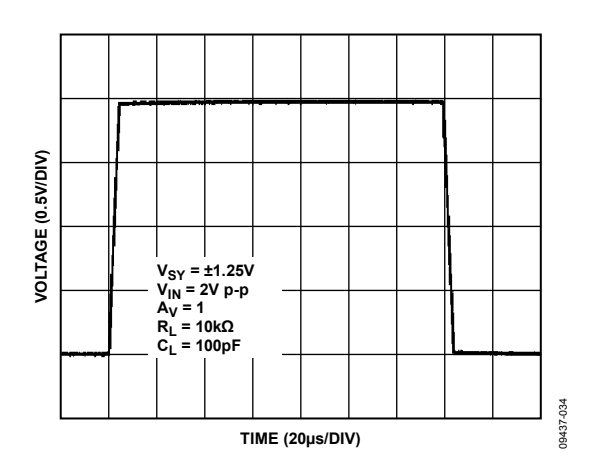


図 32.大信号過渡応答

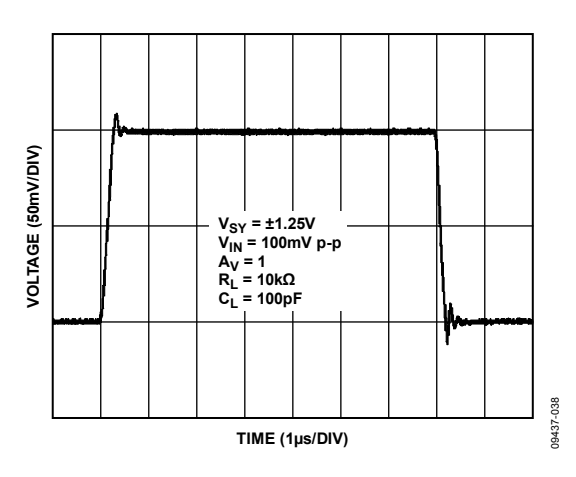


図 33.小信号過渡応答

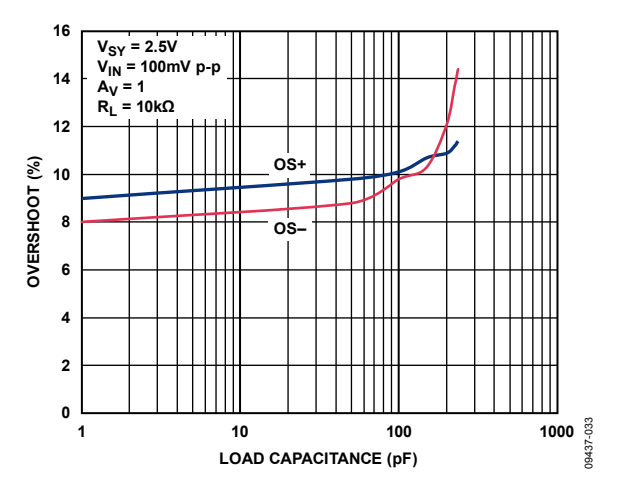


図 34.負荷容量対小信号オーバーシュート

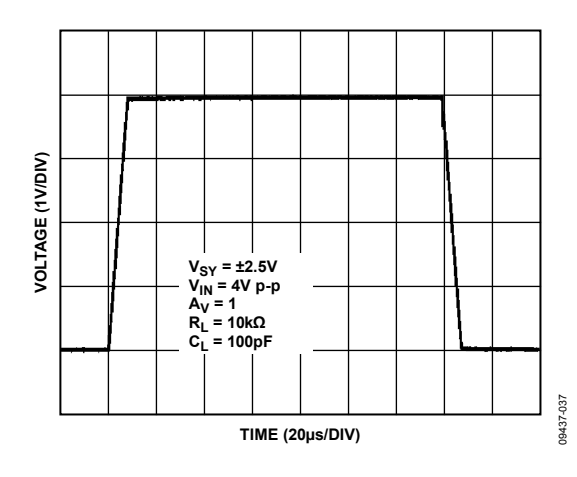


図 35.大信号過渡応答

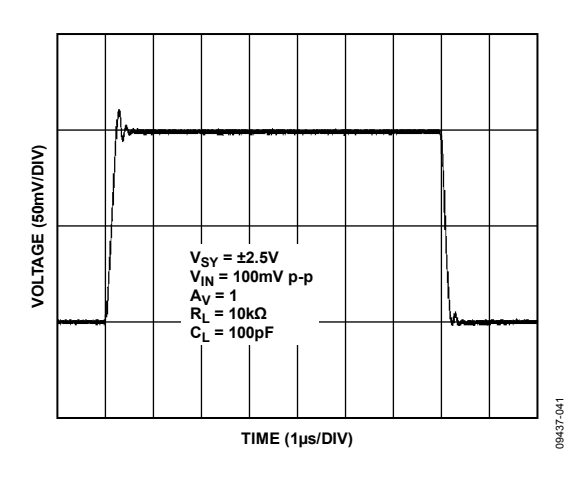


図 36.小信号過渡応答

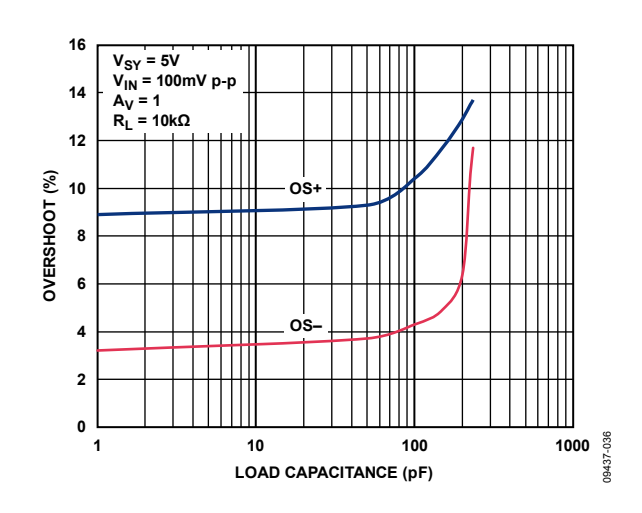
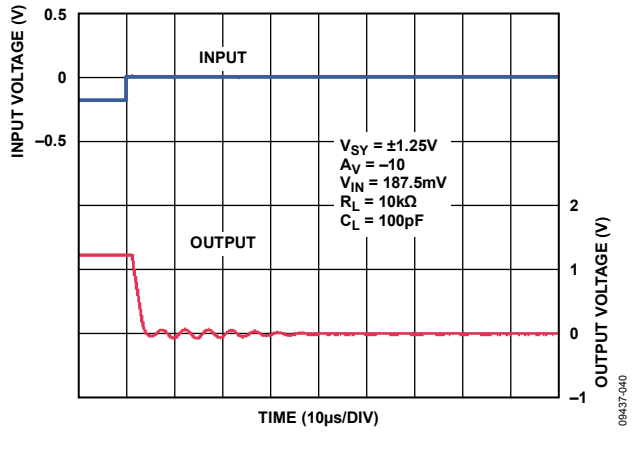


図 37.負荷容量対小信号オーバーシュート

Rev. 0 — 11/18 —





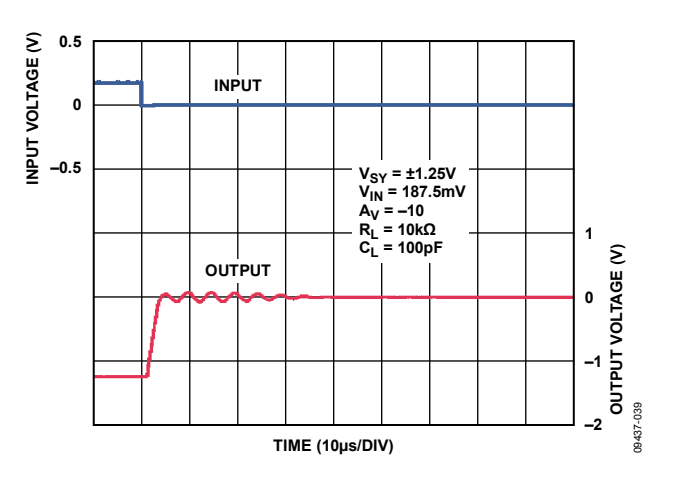


図 39.負側過負荷回復

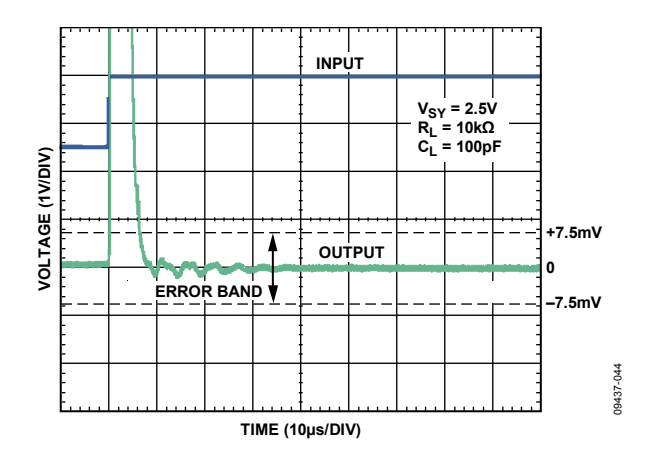


図 40.0.1%への正セトリング・タイム

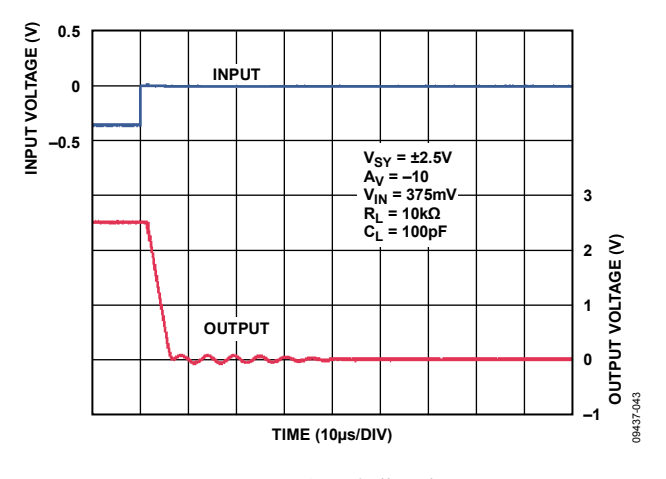


図 41.正側過負荷回復

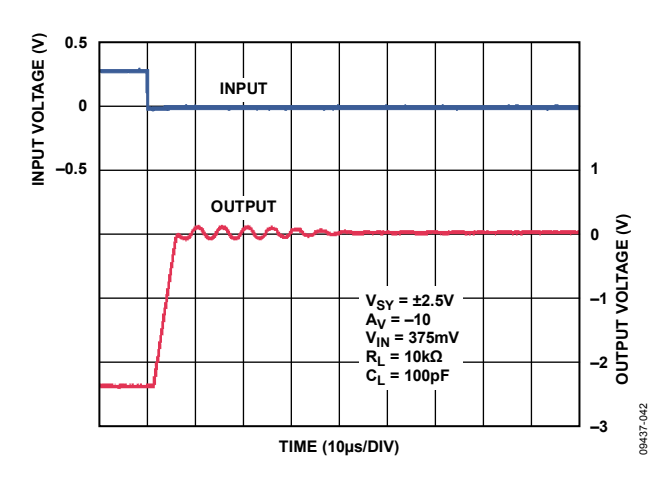


図 42.負側過負荷回復

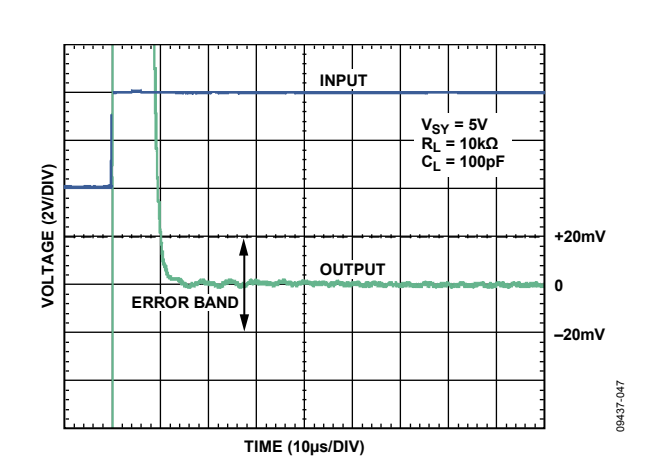


図 43.0.1%への正セトリング・タイム

Rev. 0 — 12/18 —

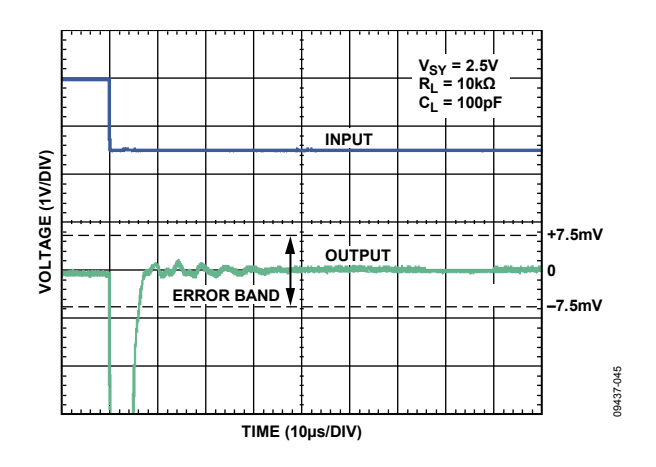


図 44.0.1%への負セトリング・タイム

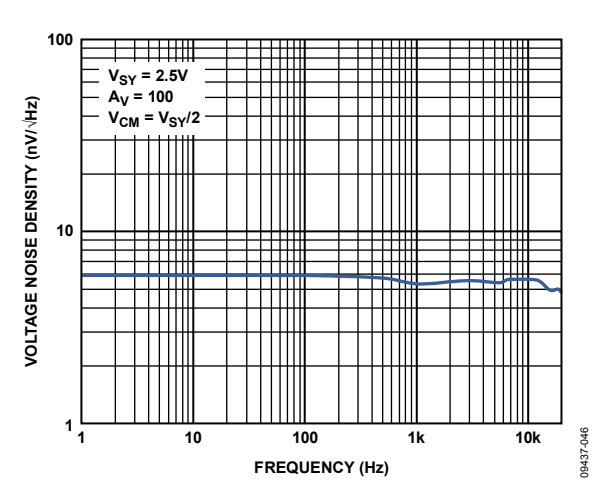


図 45.電圧ノイズ密度の周波数特性

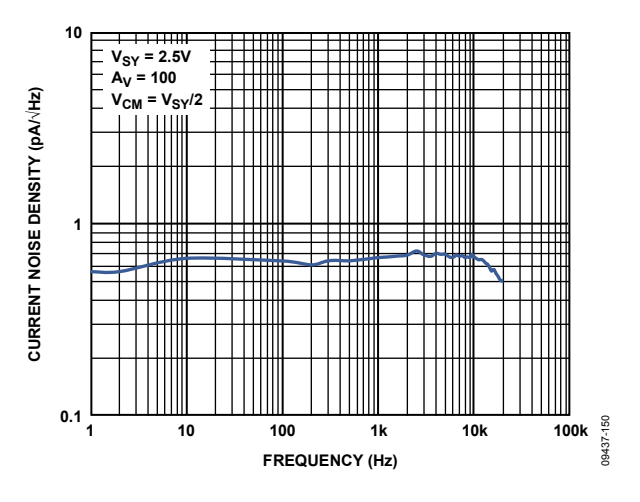


図 46.電流ノイズ密度の周波数特性

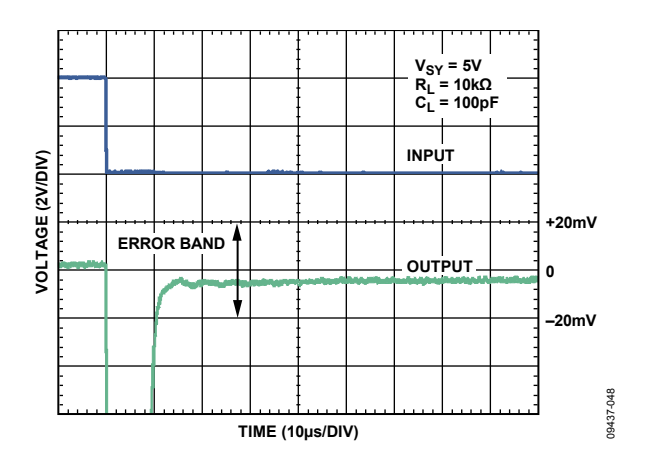


図 47.0.1%への負セトリング・タイム

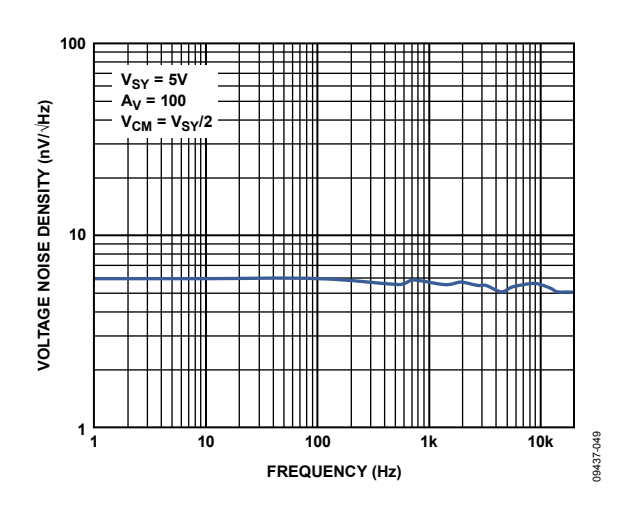


図 48.電圧ノイズ密度の周波数特性

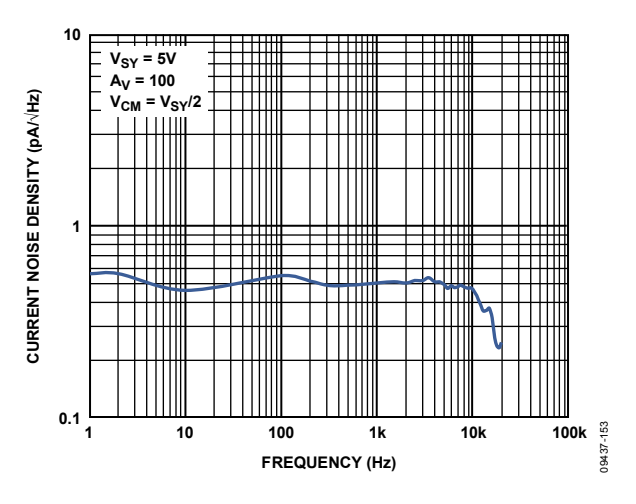


図 49.電流ノイズ密度の周波数特性

Rev. 0 — 13/18 —

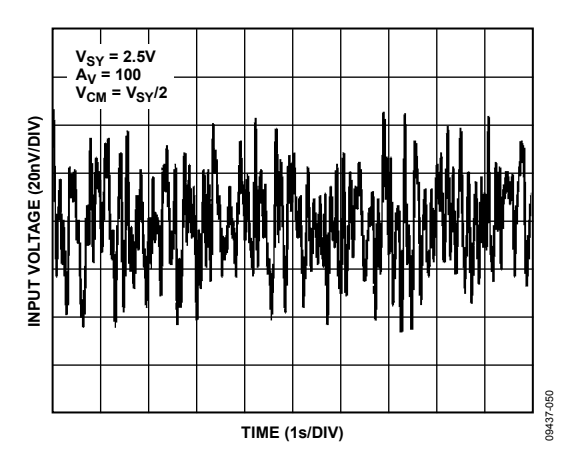


図 50.0.1~10 Hz でのノイズ

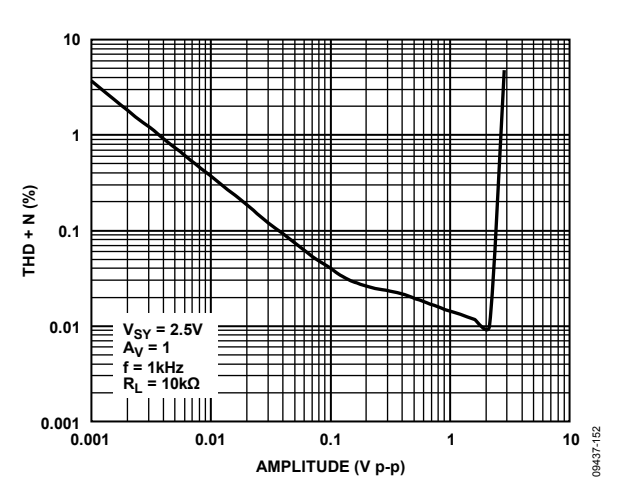


図 51.振幅対 THD +ノイズ

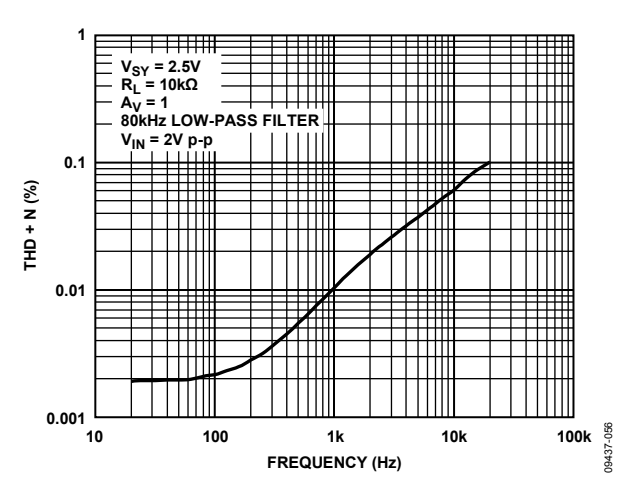


図 52.THD +ノイズの周波数特性

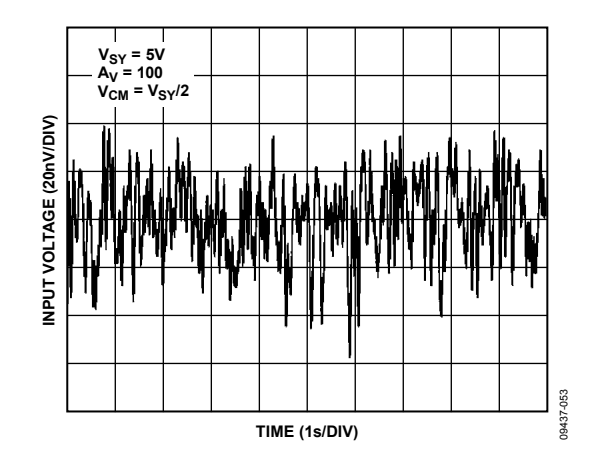


図 53.0.1~10 Hz でのノイズ

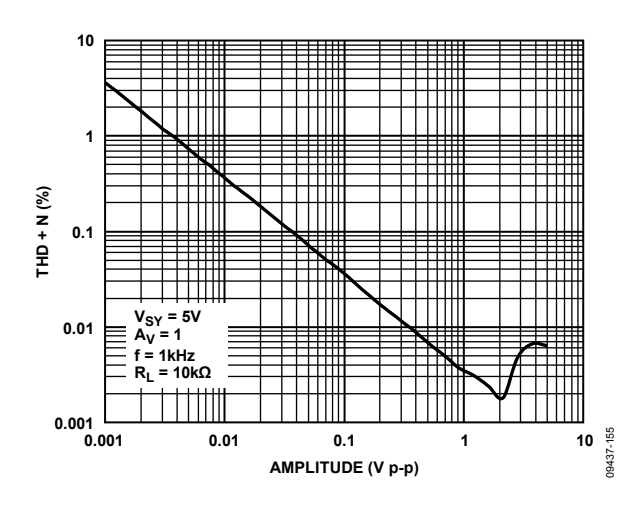


図 54.振幅対 THD +ノイズ

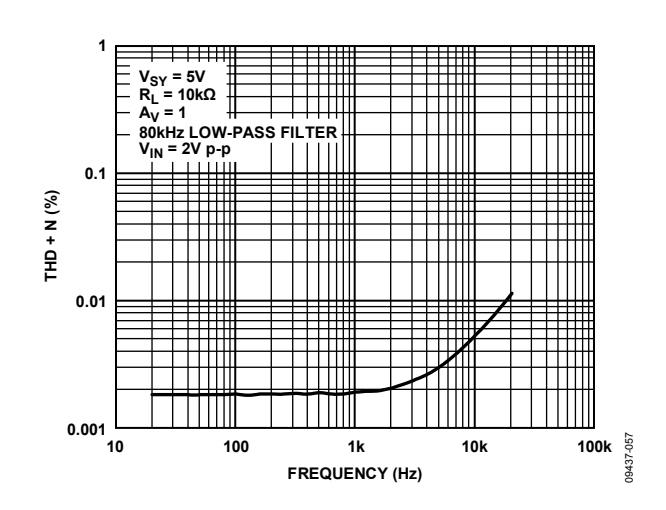


図 55.THD + ノイズの周波数特性

Rev. 0 — 14/18 —

### アプリケーション情報

ADA4528-1 は、特許取得済みのチョッピング技術を採用した高精度超低ノイズのゼロ・ドリフト・オペアンプです。このチョッピング技術は、 $0.3\,\mu V$  (typ)の超低入力オフセット電圧と  $0.002\,\mu V$ /°C (typ)の入力オフセット電圧ドリフトを提供します。

同相モード電圧変化と電源変動から発生するオフセット電圧誤差もチョッピング技術で補正されるため、158 dB (typ)の CMRR と 2.5 V電源電圧で 150 dB の PSRR が得られます。ADA4528-1 の広帯域ノイズは、 $5.6\,\mathrm{nV/Hz}$  (f = 1 kHz、 $A_{\mathrm{V}}$  = +100、 $V_{\mathrm{SY}}$  = 2.5 V) と低く、 $1/\mathrm{f}$  ノイズ成分は発生しません。これらの機能は、DC または 1Hz 以下の高精度アプリケーションの低レベル信号の増幅に最適です。

### 入力保護

ADA4528-1 は、入力と各電源レールとの間に接続されたESD保護ダイオードを内蔵しています。これらのダイオードは、静電放電と通常動作時の逆バイアスから入力トランジスタを保護します。この保護方式では、電源電圧より約300mVまで高い電圧を永久的な損傷なしにいずれかの入力に加えることができます。表4と絶対最大定格のセクションを参照してください。

いずれかの入力が電源レールより 300 mV 以上高くなると、これらの ESD ダイオードが順方向バイアスされて大きな電流が流れます。この大きな電流を制限しないとデバイスに恒久的な損傷を与えることがあります。入力で過電圧状態が予測される場合、各入力に直列に抵抗を接続して入力電流を最大 10 mA に制限してください。ただし、回路全体に対する抵抗の熱ノイズの影響を考慮してください。

5 V の電源電圧で、ADA4528-1 の広帯域電圧ノイズは約  $6\,nV/\sqrt{Hz}$  (ゲイン= 1)で、 $1\,k\Omega$  抵抗の熱ノイズは  $4\,nV/\sqrt{Hz}$  になります。 $1\,k\Omega$  抵抗を追加すると、合計ノイズが 2乗和平均(RSS)で 30%増加します。

#### レールtoレールの入力と出力

ADA4528-1 は、 $2.2 \text{ V}\sim5.5 \text{ V}$ の電源電圧でレールtoレールの入力と出力を持っています。図 56 に、ADA4528-1 の入力波形と出力波形を示します(ユニティ・ゲイン・バッファとして構成、電源電圧=  $\pm2.5 \text{ V}$ 、抵抗負荷=  $10 \text{ M}\Omega$ )。入力電圧=  $\pm2.5 \text{ V}$ で、ADA4528-1 の出力は両電源レールの非常に近くまで変化することができます。さらに、位相反転は発生しません。

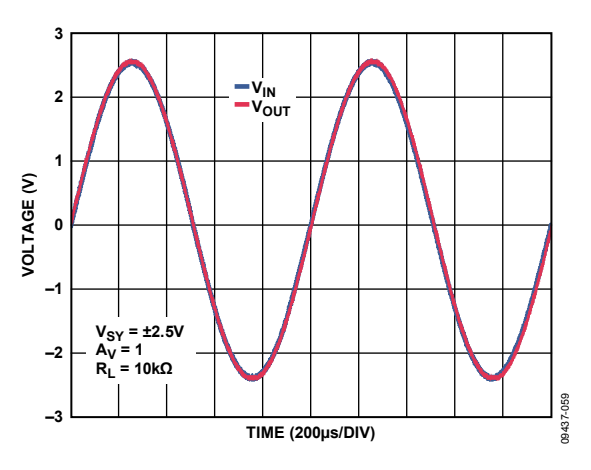


図 56.レール to レールの入力と出力

### ノイズに対する注意事項

#### 1/fノイズ

"ピンク・ノイズ"とも呼ばれる 1/f ノイズは、半導体デバイスに 固有で周波数が小さくなると大きくなります。低い周波数では 1/f ノイズが支配的なノイズ成分であるため、回路のノイズ・ゲインで増幅されると、大きな出力電圧オフセットが発生します。 ただし、ADA4528-1 は内部で 1/f ノイズを除去するため、DC または 1Hz 以下の高精度アプリケーションに対する優れた選択肢になっています。電源電圧= 2.5 V での 0.1 Hz $\sim$ 10 Hz のアンプ電圧ノイズは、僅か 97 nV p-p ( $A_V = +100$ )です。

低周波 1/fノイズはADA4528-1 に対する低速で変化するオフセットとして現れるため、チョッピング技術により大幅に削減されます。このため、ADA4528-1 はDCと低周波で、1/fノイズに敏感な標準の低ノイズ・アンプに比べて遥かに小さいノイズを持つことができます。図 45 と 図 48 に、1/fノイズのないアンプの電圧ノイズ密度を示します。

#### ソース抵抗

ADA4528-1 は、1 kHz で 5.6 nV/ $\sqrt{\text{Hz}}$  の広帯域ノイズ ( $V_{SY}$  = 2.5 V、 $A_{V}$  = +100)を持つ、現在業界に存在する最小ノイズ・ゼロ・ドリフト・アンプの 1 つです。このため、全体的な低ノイズを維持するため入力ソース抵抗の選択は重要です。アンプの入力換算総合広帯域ノイズ( $e_{N}$  total)は基本的に、入力電圧ノイズ、入力電流ノイズ、外付け抵抗のサーマル(ジョンソン)ノイズの 3 つのタイプのノイズの関数になっています。これらの相関のないノイズ・ソースは、次式を使って 2 乗和平均( $r_{SS}$ )をとることにより加算することができます。

 $e_N total = [e_n^2 + 4 kTR_S + (i_n \times R_S)^2]^{1/2}$ 

ここで、

-15/18 -

 $e_n$ はアンプの入力電圧ノイズ (V/VHz)。  $I_n$ はアンプの入力電流ノイズ(A/VHz)。  $R_S$ は合計入力ソース抵抗( $\Omega$ )。 k はボルツマン定数( $1.38 \times 10^{-23}$  J/K)。 T は絶対温度(K)。

特定帯域幅での等価総合 rms ノイズは次のように表されます。

 $e_{N,RMS} = e_N \text{ total } \sqrt{BW}$ 

ここで、BWはHzで表した帯域幅です。

この解析は、広帯域ノイズ計算に対して有効です。注目の帯域幅にチョッピング周波数が含まれる場合は、チョッピング周波数でのノイズ・スパイクの影響を考慮するため計算はさらに複雑になります(図 59 参照)。

低いソース抵抗( $R_S<1~\Omega$ )では、アンプの電圧ノイズが支配的です。ソース抵抗が大きくなると、 $R_S$ の熱ノイズが支配的になります。ソース抵抗がさらに大きくなると( $R_S>100~k\Omega$ )、電流ノイズが総合入力ノイズの主な成分になります。低ノイズ・オペアンプのセレクション・テーブルは、AN-940 アプリケーション・ノート、「Low Noise Amplifier Selection Guide for Optimal Noise Performance」に記載してあります。

#### 様々なゲイン構成での電圧ノイズ密度

図 57 に、競合他社Aのゼロ・ドリフト・アンプのクローズド・ループ・ゲイン対電圧ノイズ密度を示します。アンプの電圧ノイズ密度はクローズド・ループ・ゲインが 1000 から 1 へ減少すると、 $11~nV/\sqrt{Hz}$ から  $21~nV/\sqrt{Hz}$ に増加しています。図 58 に、ADA4528-1 の電圧ノイズ密度の周波数特性を 3 種類のゲイン構成に対して示します。ADA4528-1 は、ゲイン構成に無関係に $6~nV/\sqrt{Hz}$ で、 $1~nV/\sqrt{Hz}$ の低い入力電圧ノイズ密度を提供しています。

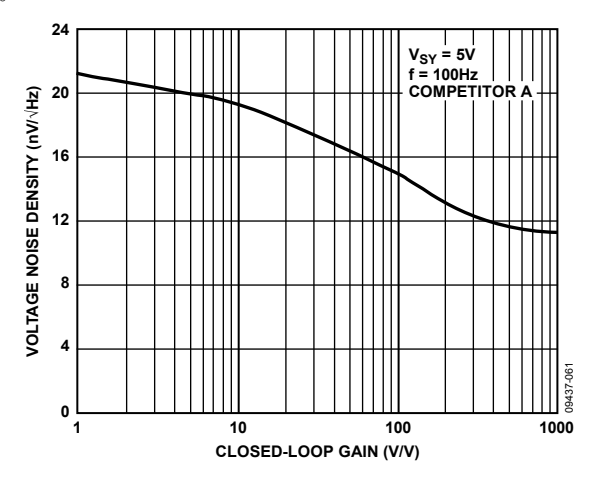


図 57. 競合他社 A のクローズド・ループ・ゲイン対 電圧ノイズ密度

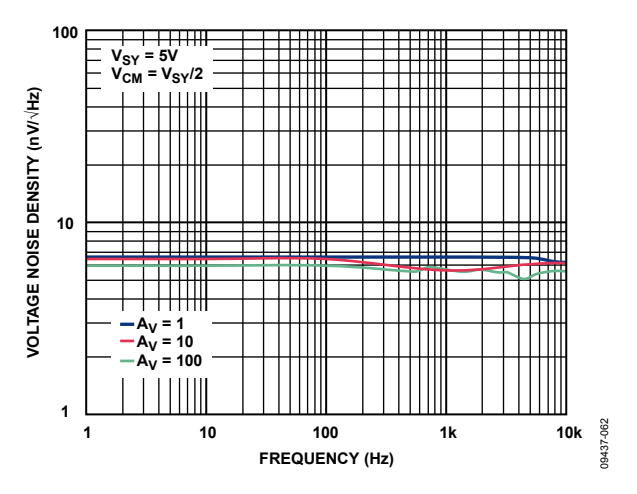


図 58.電圧ノイズ密度の周波数特性

#### 残留リップル

ACFBはチョッピングに関係するリップルを除去しますが、残留リップルのためにチョッピング周波数とその高調波に高いノイズ・スペクトルが存在します。図 59 に、ゲイン= 1 でのADA4528-1 の電圧ノイズ密度を示します。50 nV/Hzのノイズ・スパイクが、200 kHzのチョッピング周波数に見られます。このノイズ・スパイクは、オペアンプがチョッピング周波数より高いクローズド・ループ周波数を持つ場合に大きくなります。ノイズを所要レベルまで小さくするためには、アンプ出力にポスト・フィルタを設けることが推奨されます。

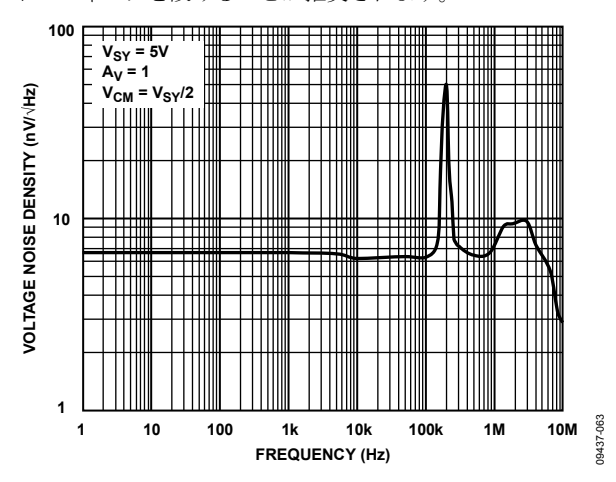


図 59.電圧ノイズ密度

#### プリント回路ボードのレイアウト

ADA4528-1 は、極めて低いオフセット電圧とノイズを持つ高精度デバイスです。このため、ボード・レベルで ADA4528-1 の最適性能を実現するために、プリント回路ボード(PCB)のレイアウト・デザインで注意が必要です。

リーク電流をなくするために、ボード表面をクリーンにして湿気をなくす必要があります。回路ボードの表面コーティングを行うと、表面の湿気の蓄積が少なくなり、湿度バリアが構成されて、ボード上の寄生抵抗が少なくなります。

電源を適切にバイパスし、電源パターンを短くすると、出力電流変動による電源の乱れが小さくなります。バイパス・コンデンサをデバイス電源ピンのできるだけ近くに接続します。漂遊容量は、アンプの出力と入力で問題になります。信号パターンは電源ラインから少なくとも 5 mm 離して、ノイズの混入を小さくすることが推奨されます。

その他のオフセット誤差原因としては、回路ボード上のゼーベック電圧があります。ゼーベック電圧は異なるメタルの接合で発生し、接合温度の関数になります。回路ボード上の最も一般的なメタル接合はハンダーボード・パターン間とハンダー部品端子間の接合です。図 60 に、PCBにハンダ付けされた表面実装部品の断面図を示します。ボード上での温度変化 $(T_{AI} \neq T_{A2})$ により、ハンダ付けポイントでのゼーベック電圧の不一致が発生して、ADA4528-1 の極めて低いオフセット電圧性能を低下させる熱電圧誤差が発生します。

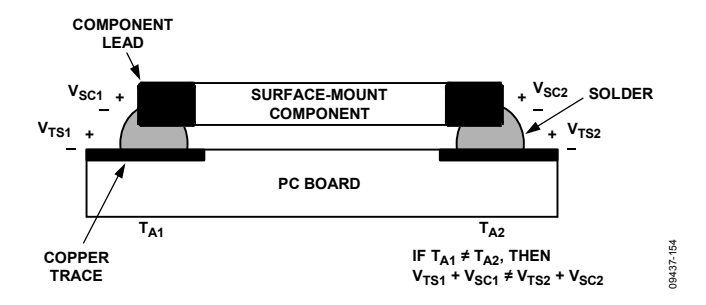
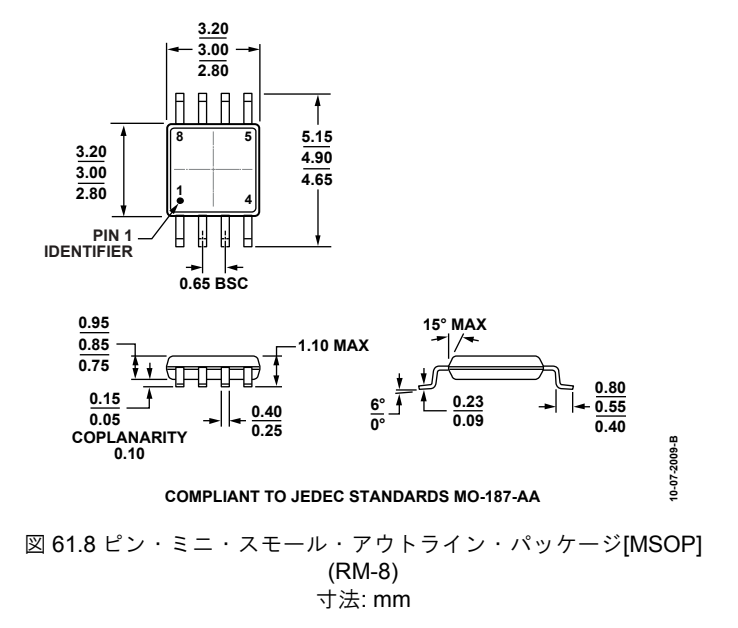


図 60.ゼーベック電圧の不一致によるゼーベック電圧誤差の発生

これらの熱電対効果を小さくするため、熱源により両端が等しく温度上昇するように抵抗の向きを調節してください。可能な場合には、入力信号パスに一致する部品番号と部品タイプを使用して、熱電対接合の番号とタイプに合わせる必要があります。例えば、ゼロ値抵抗のようなダミー部品を使って、熱電対誤差原因(反対側入力パスの実抵抗)に一致させます。一致する部品を近くに同じ向きで配置することによりゼーベック電圧を等しくし、熱誤差を相殺させます。さらに、同じ長さのリードを使って、熱伝導の平衡状態を維持させます。可能な場合は、PCB上の発熱源をアンプ入力回路から離します。

グラウンド・プレーンの使用も推奨されます。グラウンド・プレーンを使用すると、ボードへの熱放散とボード上の一定温度維持に役立ち、EMIノイズの混入も減らすことができます。

### 外形寸法



### オーダー・ガイド

Model <sup>1</sup>	Temperature Range	Package Description	Package Option	Branding
ADA4528-1ARMZ	−40°C to +125°C	8-Lead Mini Small Outline Package [MSOP]	RM-8	A2R
ADA4528-1ARMZ-R7	−40°C to +125°C	8-Lead Mini Small Outline Package [MSOP]	RM-8	A2R
ADA4528-1ARMZ-RL	−40°C to +125°C	8-Lead Mini Small Outline Package [MSOP]	RM-8	A2R

<sup>&</sup>lt;sup>1</sup> Z = RoHS 準拠製品